

HUPP 3b

David Tonderski - davton

1 Uppgift 1

Koden med alla ändringar (alltså inte den som användes för den här uppgiften) bifogas i Appendix. Det koden plottade med ändringarna som jag utförde i uppgift 1 visas i figur 1.

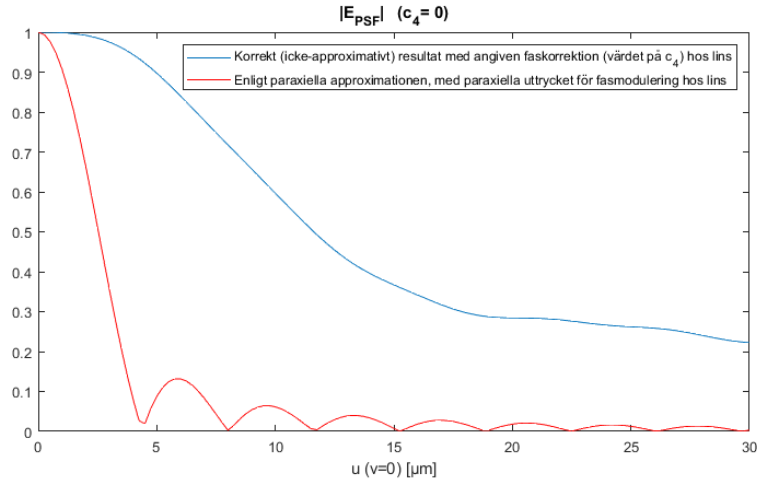


Figure 1: Verklig vs paraxiell med $c_4 = 0$.

2 Uppgift 2

Jag fick att $c_4 = \frac{k}{8f^3} \approx 4.8 \cdot 10^4$. Värdet verkar stämma bra i figur 2, där PSF:en inte längre är blaffig, utan nästan följer den paraxiella approximationen. Det bekräftas med hjälp av *Sampla_om_radiell_till_2D.m*, vilket visas i figur 3.

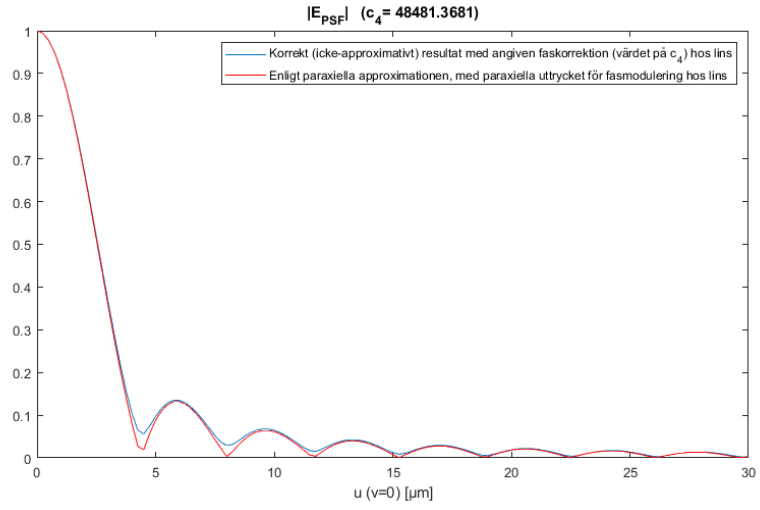


Figure 2: Verklig vs paraxiell med $c_4 \approx 4.8 \cdot 10^4$.

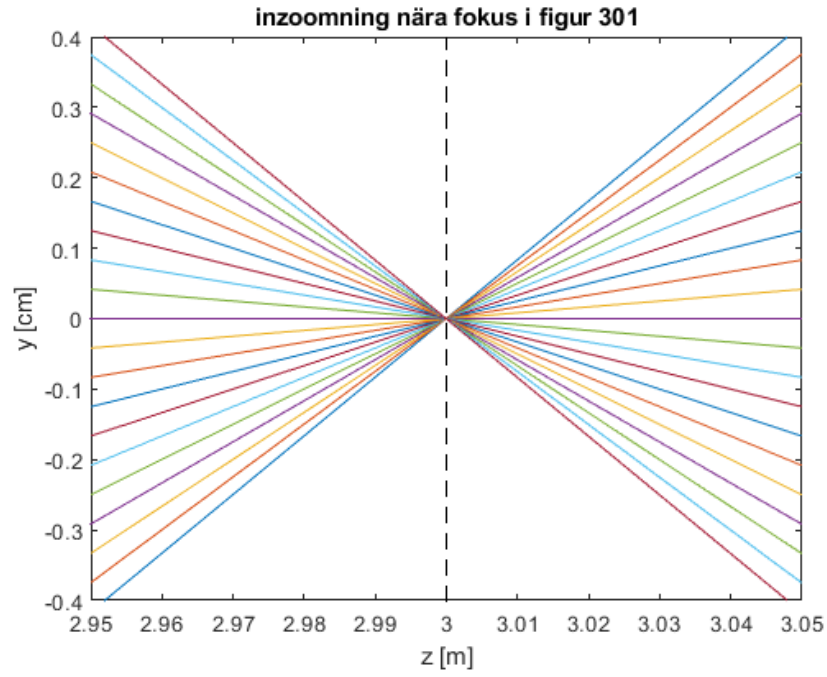


Figure 3: Plot från *rays-HiRISE.m* med $c_4 \approx 4.8 \cdot 10^4$.

3 Uppgift 3

Vi har att $\Delta\phi = k \frac{r^4}{8f^3}$, samt att $\Delta z = \frac{\Delta\phi}{2k}$. Därmed får vi att $\Delta z = \frac{r^4}{16f^3}$.

4 Uppgift 4

Plotten visas i figur 4. Hålet gör märkbar, men inte enorm skillnad, och inget svart hål kommer att uppstå i bilden. Jag tror inte att hålet kommer att göra väldigt stor skillnad i bilden. Det är intressant att även om man ökar hålstorleken till att nästan tecka det inkommande ljuset ($d_{hål} = 23$ cm), så är bilden fortfarande rätt bra; det går att urskilja rovern, men inte fotspåren.

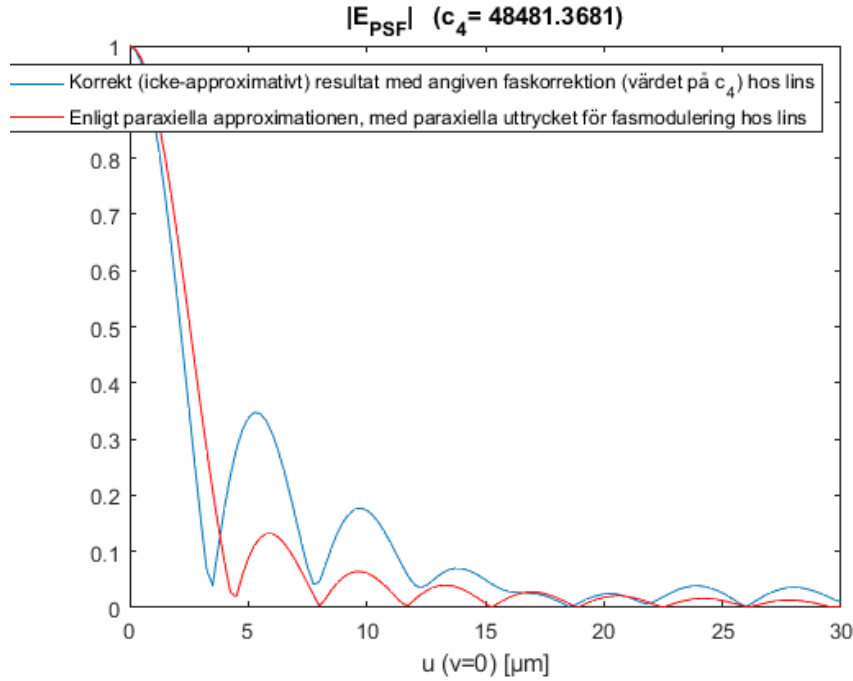


Figure 4: Verklig vs paraxiell med $c_4 \approx 4.8 \cdot 10^4$ och $d_{hål} = 15$ cm.

5 Uppgift 5

Det bästa med Hupparna är att man vet att det bästa alltid kommer på slutet.

Samplingsavståndet blir samplingsavståndet på Marsytan (400 m/5000) gånger förstoringen (3m/250km). Vi får alltså att samplingsavståndet blir $0.08 \cdot 1.2 \cdot 10^{-5} = 9.6 \cdot 10^{-7}$ m = 0.96 μ m.

Efter omsampling till 2D och en hel del in-zoomning ser PSF:en ut så här:

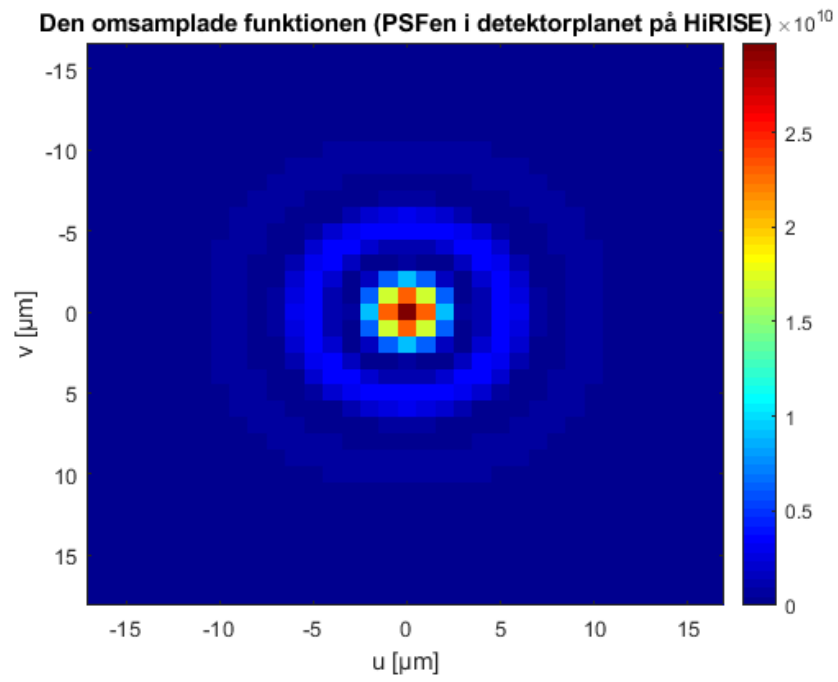


Figure 5: In-zoomad PSF efter omsampling till 2D.

På den perfekta bilden från Mars-ytan ser Rovern samt fot- och hjulspåren ut så här:

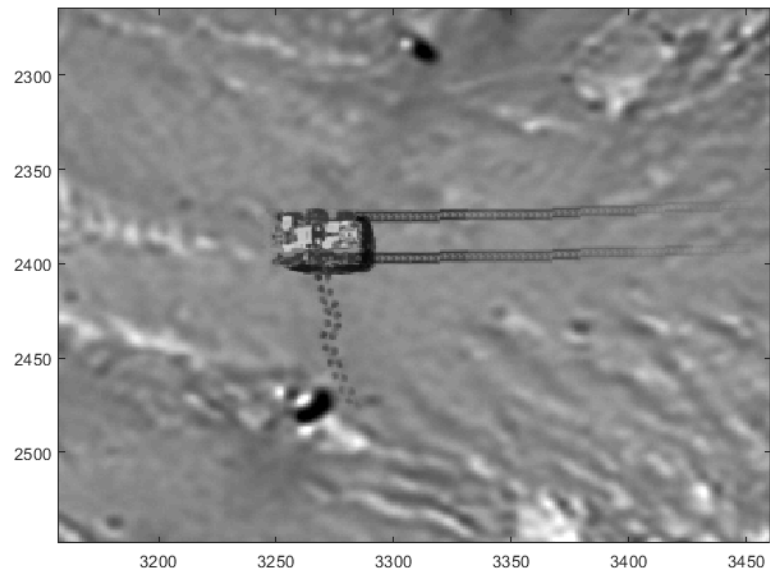


Figure 6: Perfekt bild på Rovern.

Efter faltningen blir den lite mer suddig, men allt är fortfarande urskiljbart:

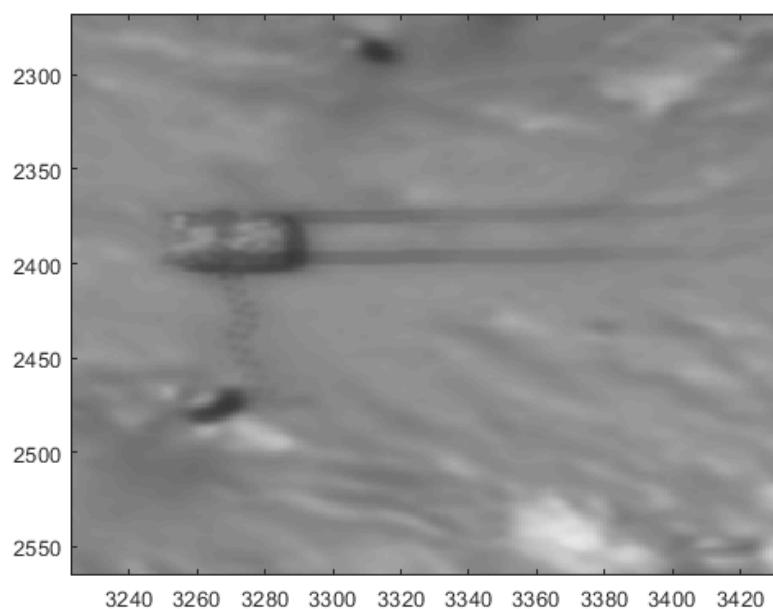


Figure 7: Faltning av PSF och perfekt bild.

Alltså är *The Martian* sann! Det hade jag aldrig trott.

A MATLAB

```
%  
% Uppgift 1: Ersätt uttrycket  
%   to_be_inserted_by_user-uppg-1 (på 2 ställen) med rätt  
%   uttryck!  
%  
%  
% Uppgift 5: Ersätt uttrycket  
%   to_be_inserted_by_user-uppg-5 (på 1 ställe) med rätt  
%   uttryck!  
%  
  
close all  
clear  
  
D_lins=.5; % Linsdiameter  
L=3; % Avstånd mellan Plan 1 och Plan 2  
f_lins=L; % Fokallängden på linsen  
lambda=600e-9; % Våglängd (Mars är rödaktig så vi antar  
%   detta värde som en typisk våglängd)  
k=2*pi/lambda;  
  
%**** parameter för uppgift 2  
c_4=k/(8*f_lins^3); % för korrektion av linsens  
%   fasmodulering, se uppgift 2 (i uppgift 1 ska c_4=0)  
%**** slut parameter för uppgift 2  
  
%**** parametrar för uppgift 5  
sampla_om_till_2D=1; % Sätts =1 när du vill sampla om ber  
%   äknade PSFen till en tvådimensionell funktion (i  
%   uppgifterna 1-4 ska den vara noll)  
if sampla_om_till_2D==1  
    N_2D=5000; % matrisstorleken hos omsamplade PSFen:  
%   ska vara samma som matrisstorleken hos den  
%   perfekta bilden som du ska falta med  
    samplavst_2D=0.96e-6; % samplingsavståndet hos  
%   omsamplade PSFen: ska vara lika med samplingsavstå  
%   ndet hos den perfekta bilden i detektorplanet  
end  
%**** slut parametrar för uppgift 5  
  
% Plan 1 (efter lins)
```

```

N=1024; % matrisstorlek
a=D_lins/N; % samplingsavstånd
xvekt=-N/2*a:a:(N/2-1)*a;
yvekt=xvekt;
[xmat,ymat]=meshgrid(xvekt,yvekt);
rmat=sqrt(xmat.^2+ymat.^2); % radialavstånd i Plan 1

% Linsens fasmodulering
fi_lins=-k*rmat.^2/(2*f_lins)+c_4*rmat.^4; % linsens
    fasmoduleringsfunktion (andra termen är en icke-
    paraxiell korrektion, se uppg 2)
T_lins=exp(1i*fi_lins).*(rmat<=D_lins/2); % linsens
    transmissionsfunktion
T_lins = T_lins.*(rmat>=0.15);

% Välj punkter längs u-axeln i Plan 2 där PSFen ska
    evalueras
steg_i_u_led=0.25e-6;
u_max=30e-6;
u_eval_vekt=0:steg_i_u_led:u_max; % innehåller u-
    positioner för punkterna där PSFen ska beräknas

% Utför fältberäkningen i varje punkt i u_eval_vekt
disp('Beräknar fältet i alla u-positioner')
pause(0.1)
for berpunkt_nummer=1:length(u_eval_vekt) % gå igenom ber
    äkningspunkterna längs u-axeln
    if rem(berpunkt_nummer,10)==0
        disp(['Beräkningspunkt_', num2str(
            berpunkt_nummer), '_av_', num2str(length(
            u_eval_vekt)), '_längs u-axeln'])
    end
    u=u_eval_vekt(berpunkt_nummer); % u-koordinat för
        aktuell beräkningspunkt
    r = sqrt(L^2 + (xmat-u).^2 + ymat.^2); % matris med
        avstånd från alla sampelpunkter i Plan 1 till
        aktuell beräkningspunkt
    E_PSF_i_aktuellt_u=sum(sum(T_lins.*exp(1i.*k.*r)./r))
        ; % fältet i beräkningspunkten, beräknat med HFM-
        integralen
    E_PSF_radiell_ickeparaxiell(berpunkt_nummer)=
        E_PSF_i_aktuellt_u; % spara resultatet i en vektor
end

E_PSF_radiell_paraxiell_teoriparaxiell_linsfasmod=
    besselj(1,k*D_lins/(2*L)*(u_eval_vekt+steg_i_u_led*1e

```



```

-5))./(u_eval_vekt+steg_i_u_led*1e-5); % Detta är Airy
-funktionen, som kan beskrivas analytiskt med
besselfunktioner.
% Detta är resultatet man får om man har lins med
paraxiella värdet på fasmoduleringen,
% och dessutom antar att paraxiella approximationen är
giltig (som t.ex i HUPP1).
figure(201)
plot(u_eval_vekt*1e6,abs(E_PSF_radiell_ickeparaxiell)/abs
(E_PSF_radiell_ickeparaxiell(1)))
hold on
plot(u_eval_vekt*1e6,abs(
E_PSF_radiell_paraxiell_teoriparaxiell_linsfasmod)/
abs(E_PSF_radiell_paraxiell_teoriparaxiell_linsfasmod
(1)),'r')
legend('Korrekt_(icke-approximativt)_resultat_med_angiven
_faskorrektion_(värdet_på_c_4)_hos_lins','Enligt_
paraxiella_approximationen,_med_paraxiella_uttrycket_f
ör_fasmodulering_hos_lins')
xlabel('u_(v=0)_[um]')
title(['|E_{PSF}|_((c_4=_' num2str(c_4) ')')]);

PSF_radiell_ickeparaxiell=abs(E_PSF_radiell_ickeparaxiell
).^2; % PSFen är intensitetsfördelningen

% Gör om den beräknade radiella PSFen till en 2D-funktion
% samplad i en N_2D x N_2D-matris med samplingsavståndet
samplavst_2D
if sampla_om_till_2D==1
[PSF_2D, uvekt, vvekt, umat, vmat]=
Sampla_om_radiell_till_2D(
PSF_radiell_ickeparaxiell, u_eval_vekt, N_2D,
samplavst_2D);
figure(221)
imagesc(uvekt*1e6,vvekt*1e6,PSF_2D)
title('Den_omsamplade_funktionen_(PSFen_i_
detektorplanet_på_HiRISE)')
xlabel('u_[um]')
ylabel('v_[um]')
colormap(jet)
colorbar
end
%%
I_perf = double(imread('
highly_resolved_photo_of_Marks_surroundings.jpg'));
figure

```

```
imagesc(I_perf)
colormap(gray)
%%
I_faltat = ifft2c(fft2c(I_perf).*fft2c(PSF_2D));
imagesc(I_faltat)
colormap(gray)
```